

Última actualización de la información: Noviembre 2024

Configuraciones productos: QX91.12+QX48.01

QX91.12: Modulo LED - L 1192 - 78° - emisión down - low output - warm white - alimentación regulable DALI integrada - Aluminio
QX48.01: IN60 MMO - Módulo Down - Minimal - L= 1192 - Blanco



Código producto

QX91.12: Modulo LED - L 1192 - 78° - emisión down - low output - warm white - alimentación regulable DALI integrada - Aluminio

Descripción

Módulo LED preparado para alojar en los perfiles del sistema IN60 MMO y emisión down. Marco de termoplástico metalizado. La luminaria genera una emisión down de luminancia controlada $L \leq 3000 \text{ cd/m}^2$ – $\alpha > 65^\circ$ conforme con la norma EN 12464-1 para aplicaciones en espacios donde se utilizan videoterminales. La versión es Low Output. Incluye grupo de alimentación electrónico regulable DALI. LED warm white (3000K), CRI90.

Instalación

Instalación del módulo en los compartimentos con sistema mecánico easy-push (resorte de acero).

Colores

Aluminio (12)

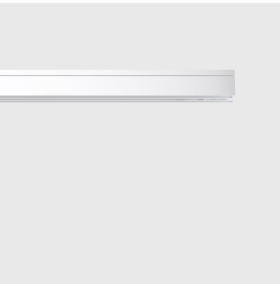
Peso (Kg)

0.93

Equipo

Conexión con clema de conexión rápida en entrada. Módulo LED con alimentación DALI integrada. Los cables eléctricos utilizados se han realizado en material libre de halógenos.

Se conforma con EN60598-1 y regulaciones pertinentes



Código producto

QX48.01: IN60 MMO - Módulo Down - Minimal - L= 1192 - Blanco

Descripción

El perfil L=1192 mm está realizado en aluminio extruido. Esta es la versión minimal para emisiones down. El producto se puede utilizar en aplicaciones empotrables, de superficie y de suspensión, tanto en la versión stand alone como en filas continuas.

Instalación

Empotrable mediante accesorios específicos a pedir por separado. Los módulos se completan con extremos de cierre y marco con leds a pedir por separado.

Colores

Blanco (01)

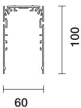
Peso (Kg)

2

Montaje

empotrable en el techo/en el techo

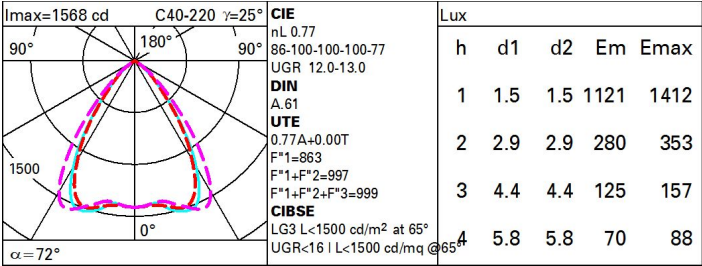
Se conforma con EN60598-1 y regulaciones pertinentes



Datos técnicos

| | | | |
|---|-------|--------------------------------------|--------|
| Im de sistema: | 2156 | CRI (mínimo): | 90 |
| W de sistema: | 16 | Temperatura de color [K]: | 3000 |
| Im de la fuente: | 2800 | MacAdam Step: | 3 |
| W de la fuente: | 16 | Código de lámpara: | LED |
| Eficiencia luminosa (Im/W, valor del sistema): | 134.8 | Número de lámparas por grupo óptico: | 1 |
| Im en modo emergencia: | - | Código ZVEI: | LED |
| Flujo total de emisión en un ángulo de 90° o superior [Lm]: | 0 | Número de grupos ópticos: | 1 |
| Light Output Ratio (L.O.R.) [%]: | 77 | Control: | DALI-2 |

Polar



Coefficientes de uso

| R | 77 | 75 | 73 | 71 | 55 | 53 | 33 | 00 | DRR |
|------|----|----|----|----|----|----|----|----|-----|
| K0.8 | 65 | 60 | 56 | 54 | 59 | 56 | 56 | 53 | 68 |
| 1.0 | 69 | 64 | 61 | 59 | 63 | 61 | 60 | 57 | 74 |
| 1.5 | 74 | 70 | 68 | 66 | 69 | 67 | 67 | 64 | 83 |
| 2.0 | 77 | 74 | 72 | 71 | 73 | 71 | 71 | 68 | 88 |
| 2.5 | 78 | 76 | 75 | 74 | 75 | 74 | 73 | 71 | 92 |
| 3.0 | 79 | 78 | 77 | 76 | 77 | 76 | 75 | 72 | 94 |
| 4.0 | 81 | 79 | 78 | 78 | 78 | 77 | 76 | 74 | 96 |
| 5.0 | 81 | 80 | 79 | 79 | 79 | 78 | 77 | 75 | 97 |

Curva límite de luminancia

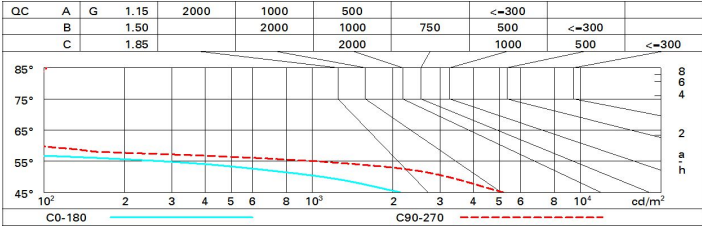


Diagrama UGR

| Corrected UGR values (at 2800 lm bare lamp luminous flux) | | | | | | | | | | | | |
|--|-----|---------------------|-------------|------|-------------|------|-------------------|------|------|------|------|--|
| Reflect.: ceiling/cav walls work pl. Room dim x y | | 0.70 | 0.70 | 0.50 | 0.50 | 0.30 | 0.70 | 0.70 | 0.50 | 0.50 | 0.30 | |
| | | 0.50 | 0.30 | 0.50 | 0.30 | 0.30 | 0.50 | 0.30 | 0.50 | 0.30 | 0.30 | |
| | | 0.20 | 0.20 | 0.20 | 0.20 | 0.20 | 0.20 | 0.20 | 0.20 | 0.20 | 0.20 | |
| | | viewed crosswise | | | | | viewed endwise | | | | | |
| 2H | 2H | 12.5 | 13.2 | 12.8 | 13.4 | 13.7 | 13.6 | 14.3 | 13.9 | 14.5 | 14.7 | |
| | 3H | 12.4 | 13.0 | 12.7 | 13.3 | 13.5 | 13.5 | 14.1 | 13.8 | 14.3 | 14.6 | |
| | 4H | 12.3 | 12.9 | 12.7 | 13.2 | 13.5 | 13.4 | 14.0 | 13.7 | 14.2 | 14.5 | |
| | 6H | 12.2 | 12.7 | 12.6 | 13.1 | 13.4 | 13.3 | 13.8 | 13.7 | 14.1 | 14.5 | |
| | 8H | 12.2 | 12.7 | 12.6 | 13.0 | 13.4 | 13.3 | 13.8 | 13.7 | 14.1 | 14.4 | |
| | 12H | 12.2 | 12.6 | 12.6 | 13.0 | 13.3 | 13.3 | 13.7 | 13.6 | 14.1 | 14.4 | |
| 4H | 2H | 12.4 | 12.9 | 12.7 | 13.2 | 13.5 | 13.4 | 13.9 | 13.7 | 14.2 | 14.5 | |
| | 3H | 12.2 | 12.7 | 12.6 | 13.0 | 13.4 | 13.3 | 13.7 | 13.6 | 14.1 | 14.4 | |
| | 4H | 12.1 | 12.5 | 12.5 | 12.9 | 13.3 | 13.2 | 13.6 | 13.6 | 13.9 | 14.3 | |
| | 6H | 12.0 | 12.4 | 12.5 | 12.8 | 13.2 | 13.1 | 13.4 | 13.5 | 13.8 | 14.3 | |
| | 8H | 12.0 | 12.3 | 12.4 | 12.7 | 13.2 | 13.0 | 13.4 | 13.5 | 13.8 | 14.2 | |
| | 12H | 11.9 | 12.2 | 12.4 | 12.7 | 13.1 | 13.0 | 13.3 | 13.4 | 13.7 | 14.2 | |
| 8H | 4H | 12.0 | 12.3 | 12.4 | 12.7 | 13.2 | 13.0 | 13.4 | 13.5 | 13.8 | 14.2 | |
| | 6H | 11.9 | 12.2 | 12.4 | 12.6 | 13.1 | 13.0 | 13.2 | 13.4 | 13.7 | 14.1 | |
| | 8H | 11.8 | 12.1 | 12.3 | 12.5 | 13.0 | 12.9 | 13.1 | 13.4 | 13.6 | 14.1 | |
| | 12H | 11.8 | 12.0 | 12.3 | 12.5 | 13.0 | 12.8 | 13.0 | 13.3 | 13.5 | 14.0 | |
| 12H | 4H | 11.9 | 12.2 | 12.4 | 12.7 | 13.1 | 13.0 | 13.3 | 13.5 | 13.7 | 14.2 | |
| | 6H | 11.8 | 12.1 | 12.3 | 12.5 | 13.0 | 12.9 | 13.1 | 13.4 | 13.6 | 14.1 | |
| | 8H | 11.8 | 12.0 | 12.3 | 12.5 | 13.0 | 12.8 | 13.0 | 13.4 | 13.5 | 14.0 | |
| Variations with the observer position at spacing: | | | | | | | | | | | | |
| S = | | 1.0H | 3.9 / -11.5 | | 3.2 / -9.2 | | | | | | | |
| | | 1.5H | 5.5 / -26.0 | | 5.4 / -21.0 | | | | | | | |
| | | 2.0H | 7.5 / -26.7 | | 7.4 / -21.5 | | | | | | | |